## Доклады Академии наук СССР 1961. Том 140, № 2

ФИЗИЧЕСКАЯ ХИМИЯ

## Б. Б. ДАМАСКИН и Ю. М. ПОВАРОВ ЕМКОСТЬ ДВОЙНОГО ЭЛЕКТРИЧЕСКОГО СЛОЯ В N-МЕТИЛФОРМАМИДЕ

(Представлено академиком А. Н. Фрумкиным 27 VI 1961)

Емкость двойного слоя в неводных растворителях изучалась в ряде работ  $(^{1-6})$ . В качестве растворителей в цитируемых работах использовались алифатические спирты, диэлектрическая постоянная которых заметно ниже, чем у воды. Этим, по-видимому, можно было объяснить снижение емкости двойного слоя при переходе от водных растворов к спиртовым (1, 3, 4).  $\mathcal L$ ругой особенностью зависимости дифференциальной емкости (C) от потенциала электрода (ф) в растворах алифатических спиртов является отсутствие характерного горба, который в водных растворах наблюдается вблизи точки нулевого заряда (т. н. з.). Согласно ( $^{7}$ ), горб на  $C - \phi$  кривых обусловлен максимумом эффективной диэлектрической постоянной слоя адсорбированных диполей растворителя, и его отсутствие в растворах СН₃ОН или С₂Н₅ОН может быть связано либо с более прочной ориентацией молекул спирта на поверхности ртути, которая лишь незначительно меняется под действием поля двойного слоя, либо с более низкими температурами замерзания спиртов; поэтому данные по емкости в CH<sub>3</sub>OH и C<sub>2</sub>H<sub>5</sub>OH при 25° следует сопоставлять с  $C - \phi$ кривыми, измеренными в воде при более высокой температуре (1, 8).

В настоящей работе методом импедансного моста (9) были измерены  $C - \varphi$  кривые на ртутном капельном электроде в растворах различных солей в N-метилформамиде, диэлектрическая постоянная которого значительно больше, чем у воды ( $D=182,4~(^{10})$ ). Потенциалы приводятся против нормального каломельного электрода, соединенного с ячейкой через склянку с насыщенным раствором КСІ в воде. Продажный НСОNНСН3 2 раза перегонялся в вакууме ( $\sim 1~$  мм Hg), а затем обрабатывался СаО и отгонялся в вакууме. Последняя операция повторялась 2 раза. После этого НСОNНСН3 перегонялся под пониженным давлением в атмосфере азота через ректификационную колонку. Полученный таким образом N-метилформамид имел удельную электропроводность  $2-4\cdot10^{-7}~$  ом $^{-1}\cdot$ см $^{-1}~$  при  $20^{\circ}$ , температуру замерзания  $-3,4^{\circ}$  и показатель преломления  $n_D^{20}=1,4300$ . Приготовленные растворы перед измерением емкости подвергались катодной поляризации на ртути в атмосфере водорода током  $1-6\cdot10^{-5}~$ a/cм $^2$  в течение 20~4ас.

Полученные данные приведены на рис. 1-4\*. Как видно из рисунков, емкость двойного слоя в N-метилформамиде в общем случае оказывается меньше, чем в воде. Так, в  $0,1\ N$  КСl при  $\phi=-1,8$  в  $C=8,8\ \mu F/cm^2$ , а при  $\phi=-0,6$  в  $C=13,9\ \mu F/cm^2$ . Так как т. н. з. в данном растворе равна  $-0,41\ B^{**}$ , то отмеченные потенциалы соответствуют отрицательно заряженной поверхности ртути. Поэтому одной из причин уменьшения емкости по сравнению с водными растворами может являться увеличение радиуса сольватированного катиона при переходе от  $H_2O$  к HCONHCH3. С другой стороны, малые величины емкости двойного слоя в N-метилформамидных растворах указывают на значительно меньшую величину эффективной диэлектрической постоянной в поверхностном слое, чем в объеме раствора  $\binom{11}{2}$ .

При положительных зарядах поверхности наблюдается резкий подъем

<sup>\*</sup> Емкость двойного слоя во всей иссследованной области потенциалов не зависит от частоты переменного тока, которая изменялась нами от 400 до  $10\,000$  гц. Приведенные данные получены при частоте 400 гц.

<sup>\*\*</sup> Т. н. з. была определена по максимуму электрокапиллярной кривой в растворе 0,1 N KCl в N-метилформамиде.

емкости, связанный со специфической адсорбцией анионов  $Cl^-$ . Как и в в случае водных растворов ( $^{12}$ ), адсорбируемость анионов возрастает в ряду:  $Cl^- < Br^- < J^-$ , и восходящая ветвь на  $C - \phi$  кривой сдвигается к более отрицательным потенциалам (рис. 1). В присутствии катиона  $Cs^+$  аналогичный подъем на  $C - \phi$  кривой наблюдается при сильно отрицательных поля-

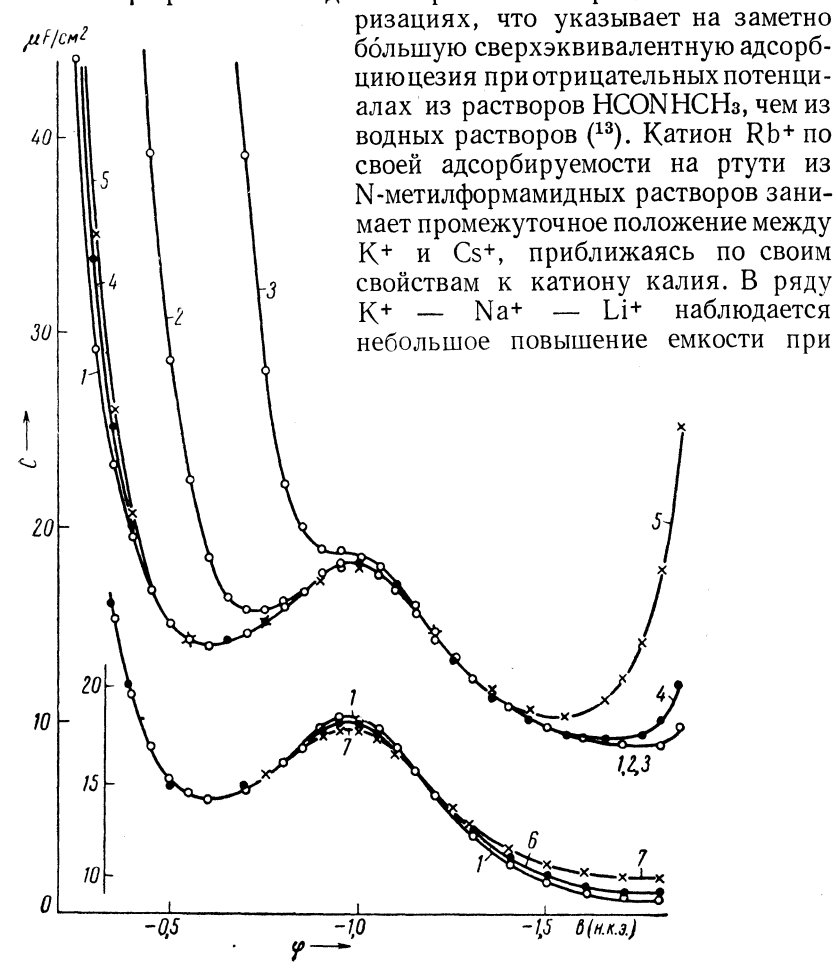


Рис. 1. Кривые дифференциальной емкости в N-метилформамиде при 25° в 0,1 N растворах: I — KCl, 2 — KBr, 3 — KJ, 4 — RbCl, 5 — CsCl, 6 — NaCl, 7 — LiCl

потенциалах отрицательнее -1,2 в и небольшое ее понижение в области максимума на  $C - \phi$  кривой (рис. 1). Это явление, которое не имеет места ни в водных (13, 14), ни в спиртовых (4, 5) растворах, требует дальнейшего исследования.

При разбавлении растворов двойной слой становится более диффузным и емкость вблизи т.н.з. уменьшается (рис. 2a). Однако уменьшение емкости в N-метилформамидных растворах заметно меньше, чем в воде при тех же концентрациях электролита. Этот результат связан с тем, что емкость плотного слоя ( $C_{\rm r}$ ) в N-метилформамиде меньше, чем в воде, а емкость диффузного слоя ( $C_{\rm r}$ ) больше (за счет более высокой диэлектрической постоянной). Поэтому при последовательном соединении  $C_{\rm r}$  и  $C_{\rm g}$  емкость диффузного слоя, являющаяся функцией концентрации, оказывает меньшее влияние на общую дифференциальную емкость в N-метилформамиде, чем в воде.

Характерной особенностью C— $\phi$  кривых в N-метилформамиде является наличие максимума (горба) при потенциалах — 0,95 — 1,05 в. Температурная зависимость емкости в максимуме на C— $\phi$  кривой, при-

веденная на рис. 3\*, позволяет предположить, что горб на кривых емкости в растворах HCONHCH₃ имеет ту же природу, что и в случаеводных растворов, т. е. связан с изменением ориентации диполей растворителя (¹⁵). Значительно-

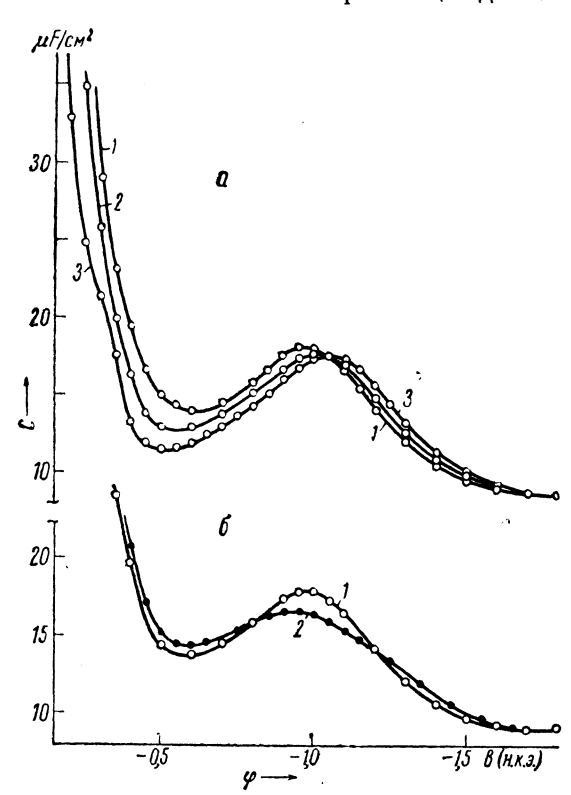


Рис. 2. Кривые дифференциальной емкости в N-метилформамиде при 25°. a — в растворах KCl: I — 0,1 N, 2 — 0,03 N, 3 — 0,01 N;  $\delta$  — в растворах: I — 0,1 N NaCl, 2 — 0,1 N NaCl +  $10^{-3}$  N [(C<sub>4</sub>H<sub>9</sub>)<sub>4</sub>N] В1

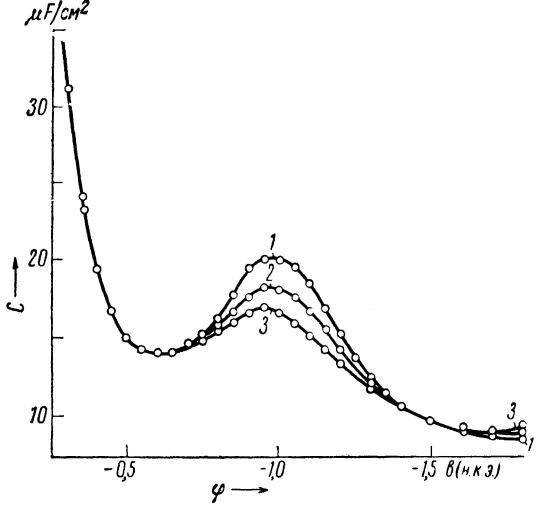


Рис. 3. Кривые дифференциальной емкости в 0,1 N KCl в N-метилформамиде при температурах:  $1-0^\circ$ ,  $2-25^\circ$ ,  $3-50^\circ$ 

меньший температурный коэффициент емкости в N-метилформамиде по сравнению сводными растворами (8,15) может быть объяснен более прочной адсорбцией на поверхности ртути диполей НСОННСН3. К этому выводу приводит низкое значение пограничного натяжения в N-метилформамидных растворах (в 0,1 N KCl  $\sigma_{\text{макс}}$  = =382,0 дин/см), а также данные по емкости, полученные нами в растворе 0.1 N NaCl+  $+10^{-3} N [(C_4 H_9)_4 N] Br (puc.26)$ . В последнем случае, как видно из рис. 2,6, прочно связанные с поверхностью молекулы HCONHCH₃ препятствуют адна ртути катионов сорбции  $[(C_4H_9)_4 N]^+$ , при наличии кокак известно  $(^6,^{16}),$ торой, емкость двойного слоя снижается до  $4-5 \mu F/cm^2$ .

Поскольку горб на  $C - \varphi$ кривых в N-метилформамидных растворах соответствует отрицательным зарядам поверхно-И так как молекулы HCONHCH₃ прочно адсорбированы на поверхности ртути, то влиянием специфической адсорбции на ориентацию диполей растворителя (15) в области потенциалов горба можно пренебречь. Таким образом, развивая представления работы (7), можно предположить, что горб на  $C - \phi$  кривых в N-метилформамидных растворах обусловлен максимумом эффективной диэлектрической постоянной слоя адсорбированных молекул HCONHCH<sub>3</sub>. Однако в данном случае минимальное диэлектрическое насыщение не соответствует т. н. з., что можно объяснить преимущественной ориентаци-HCONHCH<sub>3</sub> молекул при которой т. н. з., отрицательный конец диполя

<sup>\*</sup> При  $t>50^\circ$  HCONHCH3 начинает заметно разлагаться, что не позволило нам провести измерения емкости при более высоких температурах.

обращен к поверхности ртути. При таком объяснении горб на C— $\phi$  кривых не должен практически зависеть от природы электролита, что находится в согласии с экспериментальными данными, приведенными на рис. 1.

Небольшие добавки воды к N-метилформамидным растворам практически не изменяют формы C—  $\phi$  кривой. При большом содержании воды происходит

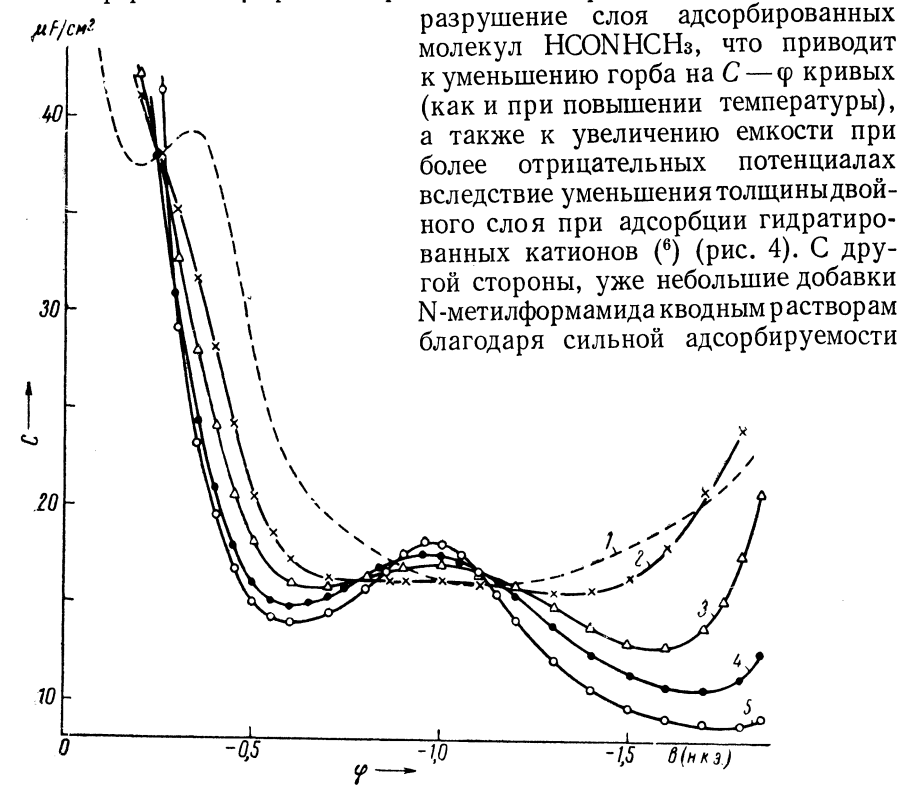


Рис. 4. Кривые дифференциальной емкости в 0,1 N KCl в смесях воды и N-метилформамида при 25°, добавка N-метилформамида (в мол. %): 1-0, 2-3,3, 3-11,6, 4-31,4, 5-100

на поверхности ртути разрушают слой адсорбированных диполей воды, что приводит к полному исчезновению горба на  $C - \varphi$  кривых в водных растворах так же, как это имеет место при повышении температуры (8, 15).

Приносим искреннюю благодарность акад. А. Н. Фрумкину за исключительное внимание к работе и обсуждение экспериментальных данных.

Московский государственный университет им. М. В. Ломоносова

Поступило 27 VI 1961

## ЦИТИРОВАННАЯ ЛИТЕРАТУРА

<sup>1</sup> D. C. Grahame, Zs. Elektrochem., **59**, 740 (1955). <sup>2</sup> В. Л. Хейфец, Б. С. Красиков, В. В. Сысоева, И. В. Гусева, Вестник ЛГУ, сер. физ. и хим., № 22, 128 (1956); № 22, 148 (1957). <sup>3</sup> А. А. Моиssa, Н. М. Sammour, Н. А. Сhаly, J. Chem. Soc., **1958**, 1269; Egypt. J. Chem., **1**, 165 (1958). <sup>4</sup> S. Minc, J. Jastrzebska, Roczn. chem., **31**, 735 (1957); ДАН, **120**, 114 (1958); J. Electrochem. Soc., **107**, 135 (1960). <sup>5</sup> S. Minc, M. Brzostowska, Roczn. chem., **34**, 1109 (1960). <sup>6</sup> П. А. Кирков, ЖФХ, **34**, 2375 (1960); ДАН, **135**, 651 (1960). <sup>7</sup> R. J. Watts-Tobin. Philos. Mag., **6**, № 61, 133 (1961). <sup>8</sup> D. C. Grahame, J. Am. Chem. Soc., **79**, 2093 (1957). <sup>9</sup> D. C. Grahame, J. Phys. Chem., **61**, 701 (1957). <sup>10</sup> G. R. Leader, J. F. Gormley, J. Ат. Сhem. Soc., **73**, 5731 (1951). <sup>11</sup> А. Н. Фрумкин, Zs. phys. Chem., **103**, 43 (1923). <sup>12</sup> М. А. Ворсина, А. Н. Фрумкин, ЖФХ, **19**, 171 (1945). <sup>13</sup> А. Н. Фрумкин, Б. Б. Дамаскин, Н. В. Николаева-Федорович, ДАН, **115**, 751 (1957); **121**, 129 (1958). <sup>14</sup> D. C. Grahame, J. Electrochem. Soc., **98**, 343 (1951). <sup>15</sup> Б. Б. Дамаскин, Е. Шварц, А. Н. Фрумкин, ДАН (в печати); ЖФХ (в печати). <sup>16</sup> Б. Б. Дамаскин, Н. В. Николаева-Федорович, ЖФХ, **35**, № 6 (1961).